

## &lt;论著摘要&gt;

# 脑神经元移行异常的 CT 诊断价值

The value of CT in diagnosing neuron migration anomalies

胡敬花

(山东省菏泽市立医院 CT 室, 山东 菏泽 274031)

HU Jing-hua

CT Department of Heze Municipal Hospital, Heze Shandong 274031, China

[关键词] 脑疾病; 体层摄影术, X 线计算机

[中图分类号] R742.8; R814.42

[文献标识码] A

[文章编号] 1008-1062(2003)01-0047-03

脑神经元移行异常包括脑裂畸形、灰质异位、无脑回畸形和(或)巨脑回畸形及多小脑回畸形<sup>[1]</sup>。在 CT、MR 问世以前脑神经元移行异常往往是病理学家的工作, 曾被认为是一种罕见畸形<sup>[2]</sup>。临幊上常有与之相关的中枢神经系统症状出现, 其确诊目前主要依靠 CT 和 MRI 检查。为了进一步加强对本病的认识, 作者分析了 40 例脑神经元移行异常的临床及 CT 资料, 并结合有关文献对所包括畸形的病理及 CT 表现特点逐个进行分析讨论如下。

## 1 材料和方法

**临床资料:** 搜集我院经 CT 检查发现脑神经元移行异常的患者 40 例, 其中脑裂畸形 26 例, 灰质异位 8 例, 无脑回和(或)巨脑回畸形 6 例。男 28 例, 女 12 例, 年龄 22 天~48 岁, 平均 22 岁。临幊表现为癫痫 32 例, 有运动功能障碍 18 例, 智力低下 8 例, 另 3 例无相关症状。

**检查方法:** 全部检查均采用 GE9800 及日立 RADLX TURBO CT 机, 头颅常规轴位平扫, 3 例做了增强扫描, 层厚及层距均为 10mm, 共有 10 层。

## 2 结果

### 2.1 脑裂畸形

共 26 例, 病变为双侧 8 例, 单侧 18 例, 共见脑裂畸形病灶 34 个, 病灶主要表现为不同宽度的裂隙从脑表面横越半球抵达侧脑室, 32 个裂隙内端与侧脑室外壁的憩室状突起相连, 所有裂隙的外端均呈不同程度的楔形或扇形扩大, 裂隙两侧均衬有与邻近皮层连续的灰质, 密度同皮层一致。裂隙互相紧贴呈线状者称融合型(图 1), 共 15 个病灶, 含脑脊液的腔把裂隙撑开的为分离型(图 2), 共 19 个病灶, 合并其它脑先天畸形者 20 例, 其中灰质异位者 3 例, 巨脑回畸形者 1 例, 脱髓鞘发育不良者 6 例, 伴视-隔发育不良者 1 例, 透明隔缺如者 4 例, 3 例合并上述两种畸形。

### 2.2 灰质异位

共 8 例, 其中 3 例与脑裂畸形并存(图 1), 5 例为孤立性灰质异位(图 3)。病灶主要表现为室管膜下或髓质区出现结节状、大小不一、密度与皮质相同的影像, 无占位表现, 强化程度与皮质相同。本组 3 例增强者均呈上述表现。

### 2.3 无脑回畸形和(或)巨脑回畸形

共 6 例, 无脑回畸形 3 例, 其中 1 例并胼胝体发育不良, 1 例并巨脑回畸形。巨脑回畸形 3 例, 其中 1 例并双侧脑裂畸形, 1 例并无脑回畸形。无脑回畸形又称光滑脑, 指脑回完全缺如(图 4)。巨脑回畸形则指脑回变宽、变扁(图 5)。两者只是畸形不同, 可同时存在于脑的不同部位。均表现为脑皮质增厚, 髓质减少, 表面光滑, 脑室可中度扩大, 常伴有其它畸形。

## 3 讨论

正常的脑发育包括神经管形成、原始细胞的分化增生、神经元移行和髓鞘形成等阶段。神经元移行持续 3 个月左右, 胚胎发育第 2 个月末, 大部分神经元沿放射状排列的胶质纤维向外移行形成皮质, 剩下的以后形成大脑深部灰质核团。移行期放射状排列的胶质纤维有任何损伤均能引起神经元移行中止, 形成一系列畸形, 以皮质异常发育为特征, 移行障碍发生越早, 畸形越严重, 病变越对称, 如脑裂畸形; 越晚则畸形越轻微, 不对称, 如灰质异位<sup>[3]</sup>, 病因尚未证实, 可能与移行期间缺血、感染及某些理化因素有关<sup>[3]</sup>。

### 3.1 脑裂畸形

1946 年 Yakovlev 及 Wedsworth 提出脑裂畸形这个词。病理上, 脑裂畸形的大脑半球内出现横形裂隙, 常自脑表面向内延伸抵达侧脑室室管膜下。裂隙的两旁为内折的灰质, 裂隙内可见软脑膜与室管膜的融合, 即软脑膜-室管膜缝<sup>[4]</sup>。根据表现病变可分为两型: I 型即融合型脑裂畸形, 特点为裂隙两侧的灰质层相贴或融合, 裂隙关闭。一般认为, 此型的形成是脑壁受损范围较小, 由于病变脑壁的神经元移行障碍同时也制约了邻近脑壁的发育, 使他们在向外生

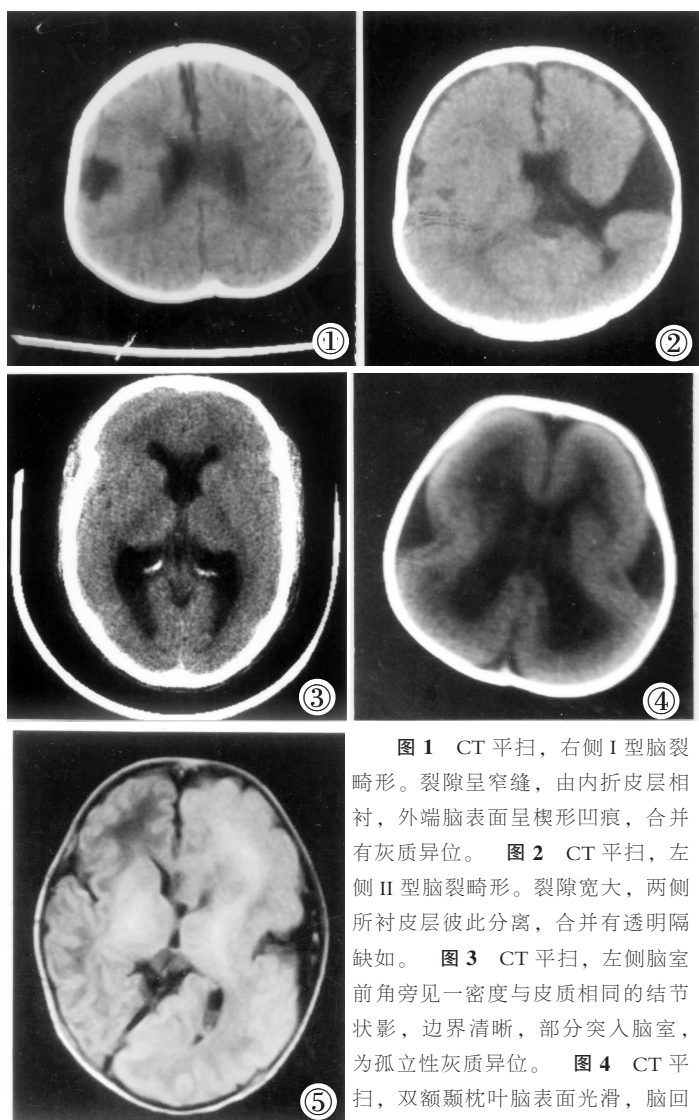


图1 CT平扫，右侧I型脑裂畸形。裂隙呈窄缝，由内折皮层相衬，外端脑表面呈楔形凹痕，合并有灰质异位。图2 CT平扫，左侧II型脑裂畸形。裂隙宽大，两侧所衬皮层彼此分离，合并有透明隔缺如。图3 CT平扫，左侧脑室前角旁见一密度与皮质相同的结节状影，边界清晰，部分突入脑室，为孤立性灰质异位。图4 CT平扫，双额颞枕叶脑表面光滑，脑回完全缺如，脑皮质增厚，脑室扩大，为光滑脑。图5 MR平扫，左颞叶脑回变宽、变扁，皮质局限性增厚，为巨脑回畸形。

长时，其皮层向着病变部位卷入并彼此相贴或融合。Ⅱ型即开放型脑裂畸形，特点为内折皮层分离，形成较大裂隙与脑室相通。据认为，此型与受累脑壁的范围较大且伴脑积水有关。病变脑壁的中央部位受脑室内的高压作用向外膨出，形成较大的含脑脊液的憩室，憩室不断扩大的最后形成横越半球脑组织的宽大裂隙<sup>[5-9]</sup>。脑裂畸形的形成原因可能是发作性低血压在生殖基质处形成梗塞灶，使局部移行受阻而导致的<sup>[9]</sup>。CT可以清晰显示脑裂畸形的病理特点。由灰质相衬横跨半球脑厚度的裂隙常见于中央沟区和侧裂，可为单侧，也可为双侧。融合型呈窄缝状，甚至无明显裂隙，开放性裂隙较宽，可呈扇形或囊状。患侧侧脑室外壁常有憩室状突起与裂隙相连，脑表面开口处常见楔形或扇形凹痕。裂隙所衬灰质在CT上与皮质等密度。病灶附近常见神经元移行异常的其它表现，如灰质异位、巨脑回畸形等，此外尚可见合并的胼胝体发育不全和透明隔缺如等。

其它脑发育畸形。本组病例合并灰质异位3例，巨脑回畸形1例，胼胝体发育不良6例，透明隔缺如6例，与文献基本相符。I型脑裂畸形的裂隙不明显时，应与孤立型灰质异位鉴别。前者的灰质柱内端相邻侧脑室外壁常有憩室状突起，外端脑表面可见楔形凹痕，可与后者鉴别，Ⅱ型脑裂畸形主要应与脑穿通畸形鉴别，后者没有内折的皮层灰质，鉴别诊断不难。

### 3.2 灰质异位

灰质异位指神经元在异常部位的聚集，是从脑室周围的生发层向脑表面皮质的放射状神经元移行过程受阻。与妊娠头3个月化学性和物理性损伤有关，有人认为这种移行异常是由于生殖基质较轻的缺血（与引起脑裂畸形的缺血相比）性改变而导致的<sup>[9]</sup>。神经元和胶质组织异常地聚集在室管膜下、皮质下或软脑膜下，分布可为局灶性、弥漫性。灰质异位分两型：结节型和板层型又称带状型<sup>[9]</sup>，前者呈多发或单发结节状，分布于室管膜下、皮质下或软脑膜下。后者异位灰质对称分布于皮质下区呈带状。常与脑裂畸形并存，本组8例中就有3例。

CT上室管膜下及髓质区出现结节状、大小不一、密度与皮质相同的影像，无占位表现，可单发或多发，位于室管膜下的结节往往在侧脑室壁形成突起，强化程度与皮质相同。

根据结节的分布、大小及增强前后与其它部位灰质密度相同等特点，可与结节性硬化鉴别，后者结节可有钙化，也可资鉴别，孤立的灰质异位结节无水肿及占位效应可与占位性病变鉴别。

### 3.3 无脑回畸形和巨脑回畸形

本病由Owen于1968年首次报告。无脑回畸形为完全无脑回，又称光滑脑。巨脑回畸形指有部分脑回形成，但这部分脑回扁平，宽基底，真正的无脑回畸形极少见，多数都伴有巨脑回。Byrd等<sup>[10]</sup>认为单纯巨脑回应与无脑回伴巨脑回畸形分开，因为无脑回畸形的病儿常在出生后6~18个月死亡，而单纯巨脑回畸形患者可以活到成年。与李联忠等临幊上广义的无脑回畸形包括无脑回和巨脑回、不伴无脑回的巨脑回单独成为移行异常中的一类相一致<sup>[9]</sup>。

Byrd等<sup>[10]</sup>提出无脑回畸形的CT诊断应包括：①完全无脑回或伴有巨脑回的局部无脑回；②脑外形呈卵圆形或沙漏钟形，侧裂沟浅；③皮质增厚，白质区相对缩小，缺少正常皮层灰白质齿合交界关系。本组见1例完全无脑回畸形（图4）。巨脑回畸形常在局部脑区域，表现为该区域脑沟平坦，基底增宽，皮层灰质增厚且失去正常的皮层灰白质齿合交界关系。本组1例示左侧巨脑回畸形（图5）。

### 3.4 多小脑回畸形

多小脑回畸形指脑回迂曲增多伴灰质增厚，又称多微脑回畸形，受累部位多局限，常累及岛叶区<sup>[9]</sup>。CT上只能见到皮层轻度增厚且脑沟变浅，脑回扁而宽。本组没有这

种畸形。

总之，脑神经元移行异常的病理特点 CT 上均能特征性的显示，鉴于 CT 能正确诊断，且比 MRI 经济又普遍，我认为 CT 应作为脑神经元异常患者的首选检查方法。

### [参考文献]

- [1] 吴恩惠. 头部 CT 诊断学. 第 2 版. 北京: 人民卫生出版社, 1995: 160-163.  
[2] 汪一, 谷艳英, 石薇. 脑裂畸形的 CT 表现. 中华放射学

杂志, 1989, 23 (4): 262-264.

[3] 李联忠, 戴建平, 赵斌. 颅脑 MRI 诊断与鉴别诊断. 北京: 人民卫生出版社, 2000: 115-120.

[4] Barkovich AJ, Norman D. MR imaging of schizencephaly. AJR, 1988, 150: 1391.

[5] Bird CR, Gillers FH. Type I schizencephaly: CT and neuropathologic findings. Am J Neuroradiol, 1987, 8: 451.

(2002-07-12 收稿)

## ◇病例报告◇

### 肺恶性纤维组织细胞瘤 1 例

#### Malignant fibrous histiocytoma of lung: one case

高德培, 丁莹莹, 苏平 (云南省肿瘤医院放射科, 云南 昆明 650106)

GAO De-pei, DING Ying-ying, SU Ping. Department of Radiology, Yunnan Tumor Hospital, Kunming 650106, China

[关键词] 肺肿瘤; 腺癌, 细支气管肺泡; 体层摄影术, X 线计算机

[中图分类号] R734.2; R814.42

[文献标识码] B

[文章编号] 1008-1062(2003)01-0049-01

**病例** 女, 22岁。2年前无明显诱因发现颈部右侧一蚕豆大小包块, 质中等, 可活动, 无压痛, 伴胸部疼痛并放射到右肩部。体格检查: 右上肺呼吸音减弱, 其余体检未发现异常; 实验室检查无异常。

X线平片: 右肺门上区团块状密度增高, 内缘紧贴右上纵隔, 边缘模糊, 左肺门影增大, 结构不清, 双侧胸腔中等量积液。诊断: 右肺上叶肿瘤并肺不张, 肺门淋巴结转移, 胸腔积液。

CT 检查: 右肺上叶前段三角形样软组织肿块, 肿块内缘紧贴右上纵隔, 与纵隔分界不清, 大小约为 4.0cm×8.0cm×7.5cm, 密度均匀, 平扫 CT 值约为 46.1Hu; 纵隔内淋巴结肿大, 双侧胸腔中等量积液。右侧余肺和左肺未见异常病变 (图 1)。CT 诊断: 右肺上叶前段纵隔型肺癌并纵隔淋巴结转移, 胸膜转移。

取颈部肿大淋巴结和肺部肿块穿刺活检和病理免疫学检查。病理免疫学检查结果: ①Keratin (-), 排除肺癌; ②S-100 蛋白 (-), 排除神经来源; ③CD<sub>15</sub> 弱阳性, 仅见异型大细胞浆有棕色过表达为 (+), 可为组织细胞; ④Myoglobin (++); ⑤CD<sub>68</sub> 强阳性 (+++). 结论: 恶性纤维组织细胞瘤, 颈部为转移性病变, 原发病变来源于肺。

**讨论** 恶性纤维组织细胞瘤 (MFH) 是一种来源于间叶组织的恶性肿瘤, 常见于中老年人, 好发生于四肢、躯干、腹膜后区<sup>[1]</sup>。经查阅文献, 有关发生于肺部的恶性纤维组织

细胞瘤的报道十分少见。肺肿瘤除原发肺癌外其它恶性肿瘤非常少见, 恶性纤维组织细胞在肺恶性肿瘤中更是罕见。

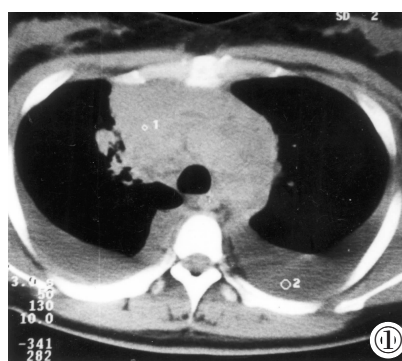


图 1 右肺上叶前段紧贴右上纵隔的软组织肿块, 与纵隔分界不清, 密度均匀, CT 值 46.1Hu。纵隔内淋巴结肿大, 双侧胸腔积液。

Ross、Paling 和 Lang 等描述 MFH 的 CT 表现主要为软组织肿块。病变较小时, 边缘光整, 密度均匀, 肿瘤增大后, 其形态不规则, 常伴有坏死 (55%) 及钙化 (7%~20%)<sup>[2-4]</sup>。但恶性肿瘤在生物学形态上都十分相似, 作者认为有关以上影像学的表现是绝大多数软组织肿瘤都具有的, 不具有特征性, 尤其是当发生在肺上的 MFH, 其影像表现更不具有特征性, 所以肺部的 MFH 很难与原发于肺部的其它肿瘤, 如肺癌、纤维肉瘤、平滑肌肉瘤等鉴别。临床确诊只有依靠病理学和病理免疫学检查。

### [参考文献]

- [1] 戴景蕊, 石木兰, 李根柱, 等. 恶性纤维组织细胞瘤的 CT 表现. 中华肿瘤杂志, 1996, 2: 140.  
[2] Ross PR, Jr MV, Rywlin AM. Malignant fibrous histiocytoma: mesenchymal tumor of ubiquitous origin. Am J Radiol, 1984, 142: 753.  
[3] Paling MR, Hyam DM. Computer tomography in malignant fibrous histiocytoma. J Comput Assist Tomogr, 1982, 6: 785.  
[4] Lane RH, Stephens DH, Reiman HM. Primary retroperitoneal neoplasms: CT findings 90 cases with pathologic correlation. Am J Radiol, 1989, 152: 83.

(2002-07-19 收稿)